

T-61.3010 Digitaalinen signaalinkäsittely ja suodatus

7/8
FN

2. välikoe / tentti. (Ke 19.5.2010) klo 15-18. Salit D, E.

2. vk on oikeus tehdä vain kerran joko 10.5. tai 19.5. Tee välikokeessa tehtävät 1, 2 ja 8 (palaute).

Tentti on oikeus tehdä vain kerran joko 10.5. tai 19.5. Tee tentissä tehtävät 3, 4, 5, 6, 7 ja 8 (palaute). Aloita kukin tehtävä uudelta sivulta.

Tilaisuudessa ei saa olla oma funktiolaskinta eikä taulukkokirjaa. Jaossa on kurssin taulukkomoniste. Tehtävää 1 (välikoe) varten on erillinen vastauslomake.

Palautusohjeet:

- esitä opiskelijakorttisi palautuksen yhteydessä
- jos välikoe: tehtävän 1 vastauslomake ("rasti ruutuun") omaan pinnoon "VK2-MONIVALINTA", täytettävä vähintään opiskelijanumero JA tehtävän 2 vastauskonsepti omaan pinnoon "VK2-KONSEPTTI", täytettävä vähintään konseptin ylälaidan tiedot
- jos tentti: kaikki vastauskonseptit sisäkkäin omaan pinnoon "TENTTI"
- suttupaperit omaan pinnoon "SUTTU"
- tehtäväpaperin ja taulukkomonisteen voi pitää itsellään

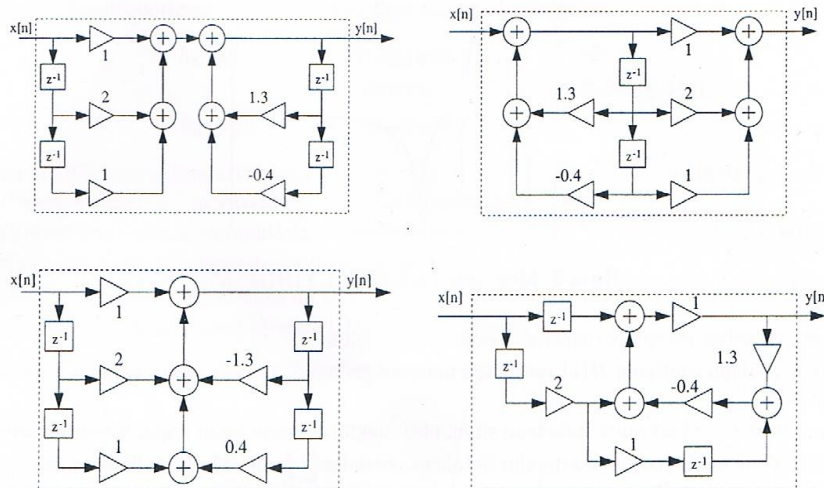
- 1) (10 x 1p, 0-9 p, VAIN VÄLIKOE) Monivalinta. Väittämissä on 1-4 oikeaa vastausta, mutta valitse yksi ja vain yksi. Täytä erillisille lomakkeelle, joka luetaan optisesti. Mustaa ruudut, hailakka rasti voi jäädä lukematta. Oikea valinta +1 p, väärä valinta -0.5 p, ei valintaa 0 p. Perusteluja ei tarvita. Vastaa niin moneen kuin haluat. Tehtävän maksimipistemäärä on 12 ja minimimäärä 0.

1.1 Kausaalinen ja stabiili LTI-suodin

$$H(z) = \frac{1 + 2z^{-1} + z^{-2}}{1 - 1.3z^{-1} + 0.4z^{-2}}$$

on esitetty viiveiden suhteen kanonisessa (yksinkertaisessa) suoran muodon II ("direct form II") -rakenteena

- (A) kuvassa 1(a).
 (B) kuvassa 1(b).
 (C) kuvassa 1(c).
 (D) kuvassa 1(d).

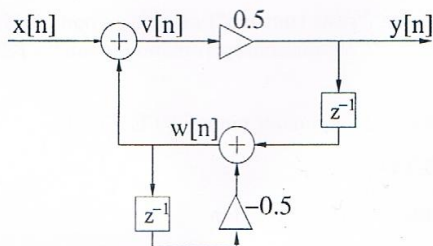


Kuva 1: Monivalintatehtävän 1.1 rakenteet, ylärivissä (A) ja (B) , alarivissä (C) ja (D) .

- 1.2 Tutkitaan digitaalista LTI-järjestelmää kuvassa 2, jossa mukana apumuuttujat $v[n]$ ja $w[n]$ ja kaksi kerrointa ovat 0.5 ja -0.5 . Näiden avulla saadaan yhtälöryhmä

$$\begin{aligned} v[n] &= x[n] + w[n] \\ w[n] &= -0.5w[n-1] + y[n-1] \\ y[n] &= 0.5v[n] \end{aligned}$$

- (A) Koska suodin on piirretty suora muoto I -rakenteena ("direct form I"), nähdään sen asteluvun olevan kaksi
 (B) Muokattaessa suodin suoran muodon ("direct form") esitykseen havaitaan sen olevan ensimmäisen asteen FIR-suodin
 (C) Kuvan rakenne on kanoninen viiveiden suhteen
 (D) Suotimen impulssivasteen arvot ovat $h[n] = \{0.5, 0.25, 0.125, 0.0625, \dots\}$



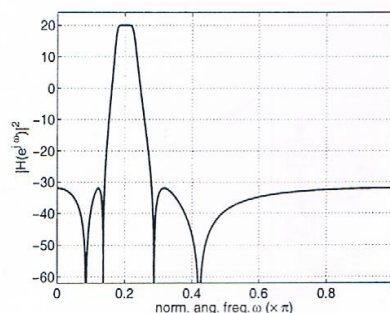
Kuva 2: Monivalintatehtävän 1.2 suodinrakenne.

- 1.3 LTI-suotimen $H(z)$ neliöllinen magnitudivaste $|H(e^{j\omega})|^2$ on esitetty kuvassa 3. Sen maksimi on 20 dB, joka saadaan kaavasta

$$10 \cdot \log_{10}\left(\frac{H_{max}^2}{H_1^2}\right) = 20 \cdot \log_{10}\left(\frac{H_{max}}{H_1}\right) = 20 \text{ dB}$$

jossa $H_1 = 1$. Mikä on vahvistuksen/vaimennuksen K arvo, jotta maksimivahvistus $\max\{K \cdot H(z)\} = 1$ eli 0 dB?

- (A) $K = 1/\infty$
 (B) $K = 0.1$
 (C) $K = 5/\pi$
 (D) $K = 10$



Kuva 3: Monivalintatehtävän 1.3 $|H(e^{j\omega})|^2$

- 1.4 Suodinsuunnittelun yhtenä peruseriaatteena voidaan pitää

- (A) Analysoidaan suotimen $H(z)$ toimintaa monesta eri näkökulmasta, jotta voidaan varmistua, onko suodin stabiili vai ei
 (B) Suotimen $H(z)$ kertoimet lasketaan siten, että magnitudivaste nipin napin toteuttaa annetut vaatimukset
 (C) Arvioidaan ensin suotimen asteluku tietokoneavusteisesti (esim. Matlab), lisätään astelukuun pieni määrä (+2 tai +4) jotta varmistutaan, ettei suotimen kertoimet kvantisoidu, ja sitten tietokoneavusteisesti lasketaan varsinaiset kertoimet $H(z) = B(z)/A(z)$
 (D) Sijoitetaan haluttu määrä nollia d_m ja napoja p_n napanollakuvioon ja lasketaan $H(z)$:n kertoimet tietokoneavusteisesti muodosta

$$H(z) = G \cdot \frac{\prod_{m=1}^M (1 - d_m z^{-1})}{\prod_{n=1}^N (1 - p_n z^{-1})}$$

1.5 Bilineaarimuunnos on yksi-yhteen-kuvaus (bijektio) s -tason (analoginen suodin) ja z -tason (digitaalinen suodin) välillä. Olkoon valittuna näyteväli $T = 2$, jolloin muunnos ja sen käänteisoperaatio ovat

$$s = \frac{1 - z^{-1}}{1 + z^{-1}}, \quad z = \frac{1 + s}{1 - s}$$

Tarkastellaan s -tason pisteitä $s = \sigma_0 + j\Omega_0$, jolloin

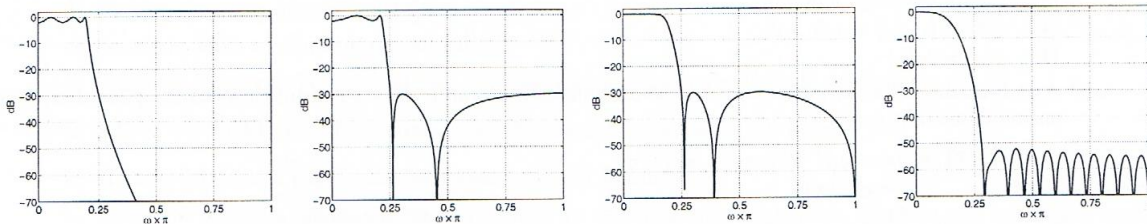
$$z = \frac{1 + (\sigma_0 + j\Omega_0)}{1 - (\sigma_0 + j\Omega_0)} = \frac{(1 + \sigma_0) + j\Omega_0}{(1 - \sigma_0) + j\Omega_0}$$

$$\Rightarrow |z|^2 = \frac{(1 + \sigma_0)^2 + (\Omega_0)^2}{(1 - \sigma_0)^2 + (\Omega_0)^2}$$

- (A) Jos s -tason kaikki navat s_i ovat vasemmassa puolitasossa, niin kaikki vastaavat digitaalisen suotimen navat z_i ovat myös vasemmassa puolitasossa z -tasossa
- (B) Jos s -tason navan reaaliosa $\sigma_0 = 0$, niin tällöin napa kuvautuu z -tasossa aina samaan pisteeseen $z = 1$ riippumatta Ω_0 :n arvosta
- (C) Jos s -tason navan reaaliosa $\sigma_0 < 0$, niin napa kuvautuu z -tasoon 1-säteisen ympyrän sisäpuolelle
- (D) Jos s -tason kaikki navat s_i ovat oikeassa puolitasossa, niin kaikki vastaavat digitaalisen suotimen navat z_i ovat aidosti yksikköympyrän sisällä z -tasossa

1.6 Komennolla $[B, A] = \text{cheby2}(5, 30, 0.25)$; saadaan Chebychev II -tyyppinen digitaalinen suodin, jonka asteluku on $N = 5$, estokaistan minimivaimennus 30 desibeliä ja estokaistan rajataajuus $\omega_{\text{stop}} = 0.25\pi$. Suotimen magnitudivasteen kuvaaja on

- (A) kuvassa 4(a)
- (B) kuvassa 4(b)
- (C) kuvassa 4(c)
- (D) kuvassa 4(d)



Kuva 4: Monivalintatehtävän 1.6 magnitudivasteet (A) , (B) , (C) ja (D) .

1.7 Ideaalisen ylipäästösuotimen ($H_{\text{HP}}(z) = 1 - H_{\text{LP}}(z)$) impulssivaste on

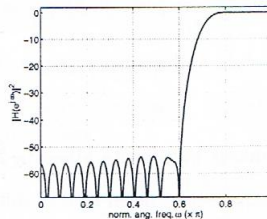
$$h_{d,\text{HP}}[n] = \delta[n] - h_{d,\text{LP}}[n]$$

$$\approx \{ \dots, 0.0121, -0.1391, \underline{0.3}, -0.1391, 0.0121, \dots \}$$

$$h_{d,\text{LP}}[n] = (\omega_c/\pi) \cdot \text{sinc}(\omega_c n/\pi)$$

ja Hamming-ikkunafunktion arvot $w_{\text{Hamming}}[n] = \{0.08, 0.54, \underline{1}, 0.54, 0.08\}$. Toteutetaan suodin ikkunamenetelmällä ("window method") ja viivästetään suodin kausaaliseksi.

- (A) Ylipäästösuotimen siirtofunktioksi tulee $H(z) = 0.08 + 0.54z^{-1} + z^{-2} + 0.54z^{-3} + 0.08z^{-4}$
- (B) Ylipäästösuotimen vaihevaste on lineaarinen
- (C) Ylipäästösuotimen rajataajuus on $\omega_c = 0.3\pi$
- (D) Ylipäästösuotimen magnitudivaste $|H(e^{j\omega})|^2$ on kuvassa 5.

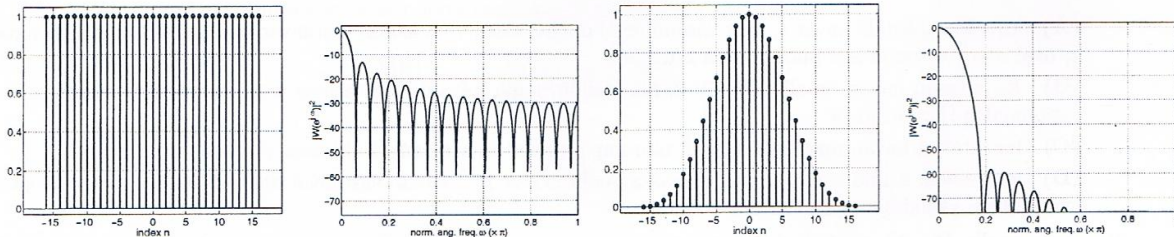


Kuva 5: Monivalintatehtävä 1.7: (D) $|H(e^{j\omega})|^2$

4/8

1.8 Sekvenssin katkaisuun äärellisen pituiseksi voidaan käyttää ikkunafunktiota. Kuvassa 6 on esitetty $N = 33$ ($M = 16$, $-M \leq n \leq M$) pituinen suorakulmainen ikkuna ja Blackman-ikkuna aika- ja taajuustasossa. Katkaisun jälkeen sekvenssistä lasketaan Fourier-muunnos spektrin aikaansaamiseksi.

- (A) Blackman-ikkunan leveämpi pääkupu ("main lobe") huonontaa signaalin läheikkäin olevien taajuuskomponenttien erotuskykyä verrattuna suorakulmaiseen ikkunaan
 (B) Blackman-ikkuna vaimentaa katkaistun sekvenssin $x[n]$ ensimmäisiä ja viimeisiä arvoja niin, etteivät amplitudiltaan heikot taajuuskomponentit erotu spektrissä yhtä hyvin kuin suorakulmaisella ikkunalla
 (C) Blackman-ikkunan suurempi vaimennus sivukuviissa ("side lobe") aiheuttaa sen, etteivät amplitudiltaan heikot taajuuskomponentit erotu spektrissä yhtä hyvin kuin suorakulmaisella ikkunalla
 (D) Blackman-ikkuna muokkaa katkaistua sekvenssiä $x[n]$ niin, että sen taajuuskomponentit siirtyvät keskimäärin kaksi kertaa korkeammille taajuuksille kuin alkuperäisessä katkaisemattomassa signaalissa



Kuva 6: Monivalintatehtävä 1.8: (a) suorakulmainen ikkuna $w_r[n]$ ja (b) magnitudivaste $|W_r(e^{j\omega})|^2$, (c) Blackman-ikkuna $w_b[n]$ ja (d) magnitudivaste $|W_b(e^{j\omega})|^2$.

1.9 Jaksollinen lukujono ($N_0 = 6$) $x[n] = \{\dots, 8, 3, 4, 2, 9, -1, \dots\}$ laitetaan digitaalijärjestelmään $x[n] \rightarrow \boxed{\downarrow 2} \rightarrow$

$\boxed{\uparrow 2} \rightarrow y[n]$. Mitä tulee ulos?

- (A) sama jono $y[n] = x[n]$
 (B) puolta lyhyempi jono $y[n]$
 (C) $y[n] = \{\dots, 8, 0, 4, 0, 9, 0, \dots\}$
 (D) $y[n] = 2x[n]$

1.10 Ajat Matlabissa itse kirjoittamaasi koodia ensimmäisen kerran makro- eli skriptitiedostosta myFunc1.m, jonka ensimmäiset rivit ovat:

```
1 [x, fT] = wavread('kiisseli.wav');
2 M      = length(x);
3 N      = 512;
4 overlap = 128;
5 D      = zeros(ceil(M/N), 3);
6 for k = (1 : N-overlap : M-N)
7     ind    = ind+1;
8     D(ind,1) = sum(abs(fft(x(k : k+N-1) .* hamming(N)))));
```

Ajo keskeytyy virheilmoitukseen, joka tulee komentoikkunaan "Command window":

```
??? Undefined function or variable 'ind'.
```

```
Error in ==> myFunc1 at 7
```

```
ind = ind+1;
```

Mikä on parhain toimintaehdotus ongelmaan:

- (A) Tallennat auki olevat tiedostot, lopetat Matlabin ja käynnistät sen uudelleen. Ajat myFunc1.m koodin uudestaan
 (B) Syötät komentoikkunan riville komennon `ind = 0;` ja ajat koodin läpi
 (C) Tuplaklikkaat komentoikkunan virheilmoitusta ja pääset editoriin kyseiselle riville 7. Poistat koko rivin 7, joka aiheutti virheilmoituksen
 (D) Lisäät editorissa koodiin ennen riviä 6 alustuksen `ind = 0;`

2) (6p, VÄLIKOE) Kirjoita tenttiesee jommasta kummasta aiheesta 2A tai 2B.

2A) **VAIHTOEHTO A.** FFT-algoritmit. Yleisen selostuksen lisäksi voit käyttää esimerkkinä kirjassa/kalvoissa ja laskeharjoitusmateriaalissa esiteltyä "radix-2 DIT FFT" -algoritmia, jonka perhosyhtälöt ja W_N taulukossa. Laske välivaiheittain FFT-muunnos ainakin jonolle ($N = 4$) $x[n] = 5\delta[n] - 2\delta[n-1] - 4\delta[n-2] + \delta[n-3]$.

2B) **VAIHTOEHTO B.** Äärellisestä sananpituudesta aiheutuvien seurausten analysointi.

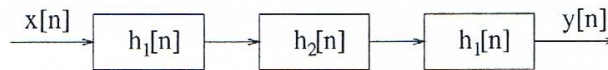
- 3) (6p, VAIN TENTTI) Tutkitaan kolmen LTI-järjestelmän sarjaankytkentää kuvassa 7. Tiedetään, että

$$\begin{aligned} h_1[n] &= \delta[n-1] - \delta[n-2] \\ h_2[n] &= \delta[n+1] + 2\delta[n] - \delta[n-1] \end{aligned}$$

- a) Mikä on koko suotimen $h[n]$ impulssivaste? Muista näyttää tarvittavat väli vaiheet!
b) Kun ulostulona järjestelmästä $h[n]$ on sekvenssi

$$y[n] = -\delta[n+1] + 6\delta[n-1] - 4\delta[n-2] - 7\delta[n-3] + 8\delta[n-4] - 2\delta[n-5]$$

niin mikä on ollut syöte $x[n]$?



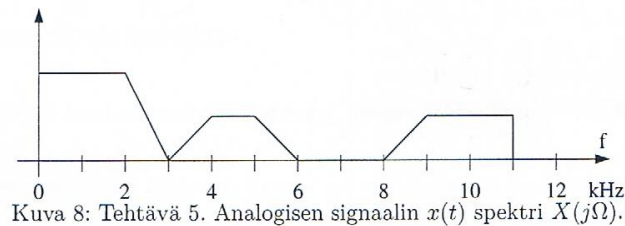
Kuva 7: Tehtävän 3 kaskaadikytkentä.

- 4) (6p, VAIN TENTTI) Olkoon tutkittavana digitaalinen LTI-suodin, jonka siirtofunktio on

$$H(z) = \frac{1 - 1.7z^{-1} + 0.72z^{-2}}{1 - 0.8z^{-1}}$$

- a) Perustele, onko suodin FIR vai IIR.
b) Esitä suotimen napanollakuvaaja.
c) Hahmottele suotimen magnitudivaste. Onko kyseessä alipäästö / ylipäästö / kaistanpäästö / kaistanesto / kokopäästö ("allpass")?
d) Kirjoita suotimen differenssiyhtälö.
e) Perustele, onko suodin kausaalinen vai ei.
f) Kerro tai piirrä yksi ja vain yksi joku muu olennainen asia analysoidavasta suotimesta.
- 5) (6p, VAIN TENTTI) Tutkitaan analogisen signaalin $x(t)$ spektriä $X(j\Omega)$ kuvassa 8.

- a) Mikä on Shannonin näyteenottoeteoreeman tärkein sisältö?
b) Jos kuvan signaalia näytteistetään taaajuudella $f_T = 9$ kHz, niin hahmottele näyhteistetyn sekvenssin spektri $X(e^{j\omega})$.



Kuva 8: Tehtävä 5. Analogisen signaalin $x(t)$ spektri $X(j\Omega)$.

- 6) (6p, VAIN TENTTI) Tutkitaan toisen asteen LTI-suodinta, jonka siirtofunktio on

$$H_1(z) = \frac{1 - 1.2z^{-1} + z^{-2}}{1 + 1.5z^{-1} + 0.6z^{-2}}$$

jonka navat ovat $p = -0.75 \pm 0.1936j$ ja nollat $z = 0.6 \pm 0.8j$ sekä magnitudivasteen maksimi kohdassa $\omega = \pi$.

- a) Hahmottele suotimen $H_1(z)$ magnitudivaste välille $[0, \dots, 2\pi]$
b) Korvaa suotimen $H_1(z)$ viiverekisterit kaksinkertaisella viiveellä $H_2(z) = H_1(z^2)$ (vrt. ylösnäytteistys $L = 2$, "upsampling"). Anna suodin $H_2(z)$ muodossa

$$H_2(z) = K \cdot \frac{1 + b_1z^{-1} + b_2z^{-2} + b_3z^{-3} + b_4z^{-4}}{1 + a_1z^{-1} + a_2z^{-2} + a_3z^{-3} + a_4z^{-4}}$$

ja hahmottele $H_2(z)$:n magnitudivaste välille $[0, \dots, \pi]$.

- c) Määrittele kerroin K niin, että suotimen $H_2(z)$ maksimiarvo on skaalattu ykköseksi.

6/8 7) (6p, VAIN TENTTI) Kuvassa 9 suotimen sisääntuloon tulevien arvojen bittimäärä on B . Kertolaskujen jälkeen määrä on $2B$. Jotta ulostulo saadaan jälleen B :n bitin suuriseksi, joudutaan arvoa $w[n]$ kvantisoimaan (lohko Q).

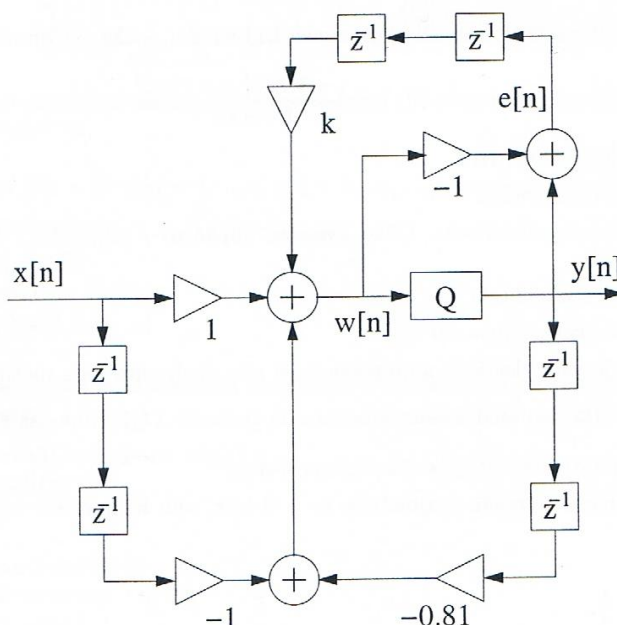
Kvantisointivirhettä voidaan kompensoida ns. virheen takaisinkytkennän ("error feedback", "error-shaping filter") avulla. Kuvassa 9 on toisen asteen suodin, jossa mukana on toisen asteen virheen takaisinkytkentä.

Kirjoita ensin differenssiyhtälöt $e[n]$:lle ja $w[n]$:lle, ja kirjoita sitten taajuustasossa kvantisoitu ulostulo $Y(z)$ sisääntulon $X(z)$, sisääntuloa muokkaavan osan $H_x(z)$, kvantisointikohinan $E(z)$ ja kvantisointikohinaa muokkaavan osan $H_e(z)$ avulla muodossa

$$Y(z) = H_x(z)X(z) + H_e(z)E(z)$$

ja vastaa

- kuinka suodin käyttäytyy, kun käytössä äärettömän pitkä sananpituus, ts. kvantisointia ei tapahdu ja $e[n] \equiv 0, \forall n$.
- kuinka kohinan kokonaisspektri $E_{tot}(z) = H_e(z)E(z)$ muokkautuu, jos kompensointia ei käytetä, ts. $k = 0$, ja jos $e[n]$ on valkoista kohinaa eli että $E(z) = 1$ kaikilla taajuuksilla.
- millä mahdollisimman yksinkertaisella k :n arvolla kohina saadaan siirrettyä varsinaisen suotimen estokaistalle, jossa sen merkitys on vähäisempi.



Kuva 9: Tehtävä 7. Toisen asteen suodin, jossa toisen asteen virheen takaisinkytkentä.

8) (1p, VÄLIKOE JA TENTTI)

Vastaa kaksiosaiseen kurssipalautteeseen ma 10.5. - pe 21.5.2010. Toinen kyselyistä on WebOodissa ja noudattelee tietotekniikan tutkinto-ohjelman yleistä kurssilomaketta ja toinen tarkentavia kysymyksiä sisältävä.

Kysely kuuluu osana välikoesuoritukseen ja sen arvo on +1 pistettä. Myös tenttiin osallistujat saavat +1 pistettä kyselyyn osallistumisesta.

Basic math stuff

Even and odd functions:

Even $\{x(t)\} = 0.5 \cdot [x(t) + x(-t)]$, e.g., $\cos(x) = \cos(-x)$

Odd $\{x(t)\} = 0.5 \cdot [x(t) - x(-t)]$, e.g., $\sin(x) = -\sin(-x)$

Roots of second-order polynomial:

$$ax^2 + bx + c = 0, x = \frac{-b \pm \sqrt{b^2 - 4ac}}{2a}$$

Logarithms, decibels:

$$\log((A \cdot B/C)^D) = D \cdot (\log A + \log B - \log C)$$

$$\log_a b = \log_c b / \log_c a$$

$$\text{decibels: } 10 \log_{10}(H^2/H_0^2) = 20 \log_{10}(H/H_0)$$

$$10 \log_{10}(0.5) = 20 \log_{10}(\sqrt{0.5}) \approx -3.01 \text{ dB}$$

$$20 \log_{10}(0.1) = -20 \text{ dB}, 20 \log_{10}(0.01) = -40 \text{ dB}$$

Complex numbers, radii, angles, unit circle:

$$i \equiv j = \sqrt{-1} = -1/j$$

$$z = x + jy = r e^{j\theta}$$

$$r = \sqrt{x^2 + y^2}$$

$$\theta = \arctan(y/x) + n\pi, (n = 0, \text{ if } x > 0, n = 1, \text{ if } x < 0)$$

$$x = r \cos(\theta), y = r \sin(\theta)$$

$$e^{j\theta} = \cos(\theta) + j \sin(\theta) \quad (\text{Euler's formula})$$

$$\cos(\theta) = (1/2) \cdot (e^{j\theta} + e^{-j\theta}), \sin(\theta) = (1/2j) \cdot (e^{j\theta} - e^{-j\theta})$$

$$z_1 \cdot z_2 = r_1 r_2 e^{j(\theta_1 + \theta_2)}, z_1/z_2 = (r_1/r_2) e^{j(\theta_1 - \theta_2)}$$

$$|A \cdot B| = |A| \cdot |B|, \angle(A \cdot B) = \angle A + \angle B$$

$$z^n = r^n e^{jn\theta} = r^n (\cos \theta + j \sin \theta)^n = r^n (\cos n\theta + j \sin n\theta)$$

$$z_k = \sqrt[n]{z} = \sqrt[n]{r} e^{j\theta/n} = \sqrt[n]{r} e^{j(\theta + 2\pi k)/N}, k = 0, 1, \dots, N-1$$

Trigonometric functions:

$$1^\circ = \pi/180 \text{ radians} \approx 0.01745 \text{ rad}, 1 \text{ rad} = 180^\circ/\pi \approx 57.30^\circ$$

$$\text{sinc}(\theta) = \sin(\pi\theta)/(\pi\theta)$$

$$\sin(\theta)/\theta \rightarrow 1, \text{ when } \theta \rightarrow 0; \text{sinc}(\theta) \rightarrow 1, \text{ when } \theta \rightarrow 0$$

$$\cos^2(\theta) + \sin^2(\theta) = 1$$

$$\sin(\theta) = \theta - \frac{\theta^3}{3!} + \frac{\theta^5}{5!} - \dots + (-1)^n \frac{\theta^{2n+1}}{(2n+1)!} + \dots \quad (\text{Taylor})$$

$$\cos(\theta) = 1 - \frac{\theta^2}{2!} + \frac{\theta^4}{4!} - \dots + (-1)^n \frac{\theta^{2n}}{(2n)!} + \dots \quad (\text{Taylor})$$

| | | | | |
|----------------|---|--------------|--------------|--------------|
| θ | 0 | $\pi/6$ | $\pi/4$ | $\pi/3$ |
| $\sin(\theta)$ | 0 | 0.5 | $\sqrt{2}/2$ | $\sqrt{3}/2$ |
| $\cos(\theta)$ | 1 | $\sqrt{3}/2$ | $\sqrt{2}/2$ | 0.5 |

| | | | | |
|----------------|---------|---------------|-------|----------|
| θ | $\pi/2$ | $3\pi/4$ | π | $5\pi/4$ |
| $\sin(\theta)$ | 1 | $\sqrt{2}/2$ | 0 | -1 |
| $\cos(\theta)$ | 0 | $-\sqrt{2}/2$ | -1 | 0 |

$$\pi \approx 3.1416, \sqrt{3}/2 \approx 0.8660, \sqrt{2}/2 \approx 0.7071$$

Geometric series:

$$\sum_{n=0}^{+\infty} a^n = \frac{1}{1-a}, \quad |a| < 1$$

$$\sum_{n=0}^N a^n = \frac{1-a^{N+1}}{1-a}, \quad |a| < 1$$

Continuous-time unit step and unit impulse fun.:

$$\mu(t) = \begin{cases} 1, & t > 0 \\ 0, & t < 0 \end{cases}$$

$$\delta_\Delta(t) = \frac{d}{dt} \mu_\Delta(t), \quad \delta(t) = \lim_{\Delta \rightarrow 0} \delta_\Delta(t) \quad (\text{Dirac's delta})$$

$$\int_{-\infty}^{\infty} \delta(t) dt = 1$$

$$\int_{-\infty}^{\infty} \delta(t-t_0)x(t) dt = x(t_0)$$

In DSP notation $2\pi\delta(t)$ is computed $2\pi \int \delta(t) \cdot 1 dt = 2\pi$, when $t = 0$, and = 0 elsewhere.

Discrete-time unit impulse and unit step functions:

$$\delta[n] = \begin{cases} 1, & n = 0 \\ 0, & n \neq 0 \end{cases} \quad \mu[n] = \begin{cases} 1, & n \geq 0 \\ 0, & n < 0 \end{cases}$$

E.g. $x[n] = 2\delta[n+1] + \delta[n] - \delta[n-1] = \{2, 1, -1\}$,
 $x[-1] = 2, x[0] = 1, x[1] = -1$.

Periodic signals

$$\exists T \in \mathbb{R}_+ : x(t) = x(t+T), \forall t \in \mathbb{R}$$

$$\exists N \in \mathbb{Z}_+ : x[n] = x[n+N], \forall n \in \mathbb{Z}$$

Fundamental period T_0, N_0 is the smallest $T > 0, N > 0$.

E.g.: $\cos(\omega n) = \cos(\omega n + 2\pi k), e^{j(\omega n)} = e^{j(\omega n + 2\pi k)}$

Convolution

Convolution is commutative, associative and distributive.

$$y(t) = h(t) \otimes x(t) = \int_{-\infty}^{\infty} h(\tau)x(t-\tau) d\tau$$

$$y[n] = h[n] \otimes x[n] = \sum_{k=-\infty}^{+\infty} h[k]x[n-k]$$

$$y_C[n] = h[n] \otimes x[n] = \sum_{k=0}^{N-1} h[k]x[n-k > N]$$

Correlation:

$$r_{xy}[l] = \sum_{n=-\infty}^{+\infty} x[n]y[n-l] = x[l] \otimes y[-l]$$

$$r_{xx}[l] = \sum_{n=-\infty}^{+\infty} x[n]x[n-l]$$

Mean and variance of random signal:

$$m_X = E[X] = \int xp_X(x)dx$$

$$\sigma_X^2 = \int (x - m_X)^2 p_X(x)dx = E[X^2] - m_X^2$$

Frequencies, angular frequencies, periods:

Here f_s (also f_T later) is the sampling frequency.

Frequency $f, [f] = \text{Hz} = 1/s$.

Angular frequency $\Omega = 2\pi f = 2\pi/T, [\Omega] = \text{rad/s}$ (analog).

Normalized angular frequency $\omega = 2\pi\Omega/\Omega_s = 2\pi f/f_s, [\omega] = \text{rad/sample}$ (digital).

Normalized frequency in Matlab $f_{MATLAB} = 2f/f_s, [f_{MATLAB}] = 1/\text{sample}$.

Sampling of $x_a(t)$ by sampling frequency f_T

$$x_p[n] = x_a(nT) = x_a(n/f_T)$$

$$X_p(j\Omega) = \frac{1}{T} \sum_{k=-\infty}^{\infty} X_a(j(\Omega - k\Omega_T))$$

Integral transforms. Properties

Here all integral transforms share some basic properties.

Examples given with CTFT, $x[n] \leftrightarrow X(e^{j\omega}), x_1[n] \leftrightarrow X_1(e^{j\omega})$, and $x_2[n] \leftrightarrow X_2(e^{j\omega})$ are time-domain signals with corresponding transform-domain spectra. a and b are constants.

Linearity. All transforms are linear.

$$ax_1[n] + bx_2[n] \leftrightarrow aX_1(e^{j\omega}) + bX_2(e^{j\omega})$$

Time-shifting. There is a kernel term in transform, e.g.,

$$x[n-k] \leftrightarrow e^{-jk\omega} X(e^{j\omega})$$

Frequency-shifting. There is a kernel term in signal e.g.,

$$e^{j\omega_k n} x[n] \leftrightarrow X(e^{j(\omega-\omega_k)})$$

Conjugate symmetry $x^*[n] \leftrightarrow X^*(e^{-j\omega})$. If $x[n] \in \mathbb{R}$, then

$$X(e^{j\omega}) = X^*(e^{-j\omega}), |X(e^{j\omega})| = |X(e^{-j\omega})|, \angle X(e^{j\omega}) = -\angle X(e^{-j\omega})$$

If $x[n] \in \mathbb{R}$ and even, then $X(e^{j\omega}) \in \mathbb{R}$ and even. If $x[n] \in \mathbb{R}$ and odd, then $X(e^{j\omega})$ purely $\in \mathbb{C}$ and odd.

Time reversal. Transform variable is reversed, e.g.,

$$x[-n] \leftrightarrow X(e^{-j\omega})$$

Differentiation. In time and frequency domain, e.g.,

$$x[n] - x[n-1] \leftrightarrow (1 - e^{-j\omega})X(e^{j\omega}), nx[n] \leftrightarrow j \frac{d}{d\omega} X(e^{j\omega})$$

Duality. Convolution property: convolution in time domain

corresponds multiplication in transform domain $x_1[n] \otimes x_2[n] \leftrightarrow X_1(e^{j\omega}) \cdot X_2(e^{j\omega})$ and multiplication property, vice versa, $x_1[n] \cdot x_2[n] \leftrightarrow \frac{1}{2\pi} \int_{2\pi} X_1(e^{j\theta})X_2(e^{j(\omega-\theta)}) d\theta$

Parseval's relation. Energy in signal and spectral components:

$$\sum |x[n]|^2 = \frac{1}{2\pi} \int_{2\pi} |X(e^{j\omega})|^2 d\omega$$

Fourier series of continuous-time periodic signals:

$$x(t) = \sum_{k=-\infty}^{\infty} a_k e^{jk\Omega_0 t} \quad (\text{synthesis})$$

$$a_k = \frac{1}{T} \int_T x(t) e^{-jk\Omega_0 t} dt \quad (\text{analysis})$$

$$x(t-t_0) \leftrightarrow a_k e^{jk\Omega_0 t_0}$$

$$e^{jM\Omega_0 t} x(t) \leftrightarrow a_{k-M}$$

$$\int_T x_a(\tau)x_b(t-\tau) d\tau \leftrightarrow T a_k b_k$$

$$x_a(t)x_b(t) \leftrightarrow \sum_l a_l b_{k-l}$$

$$\frac{d}{dt} x(t) \leftrightarrow jk\Omega_0 a_k$$

Continuous-time Fourier-transform (CTFT):

$$x(t) = \frac{1}{2\pi} \int_{-\infty}^{\infty} X(j\Omega) e^{j\Omega t} d\Omega \quad (\text{synthesis})$$

$$X(j\Omega) = \int_{-\infty}^{\infty} x(t) e^{-j\Omega t} dt \quad (\text{analysis})$$

$$x(t-t_k) \leftrightarrow e^{j\Omega t_k} X(j\Omega)$$

7/8

$$\begin{aligned}
 e^{j\Omega_k t} x(t) &\leftrightarrow X(j(\Omega - \Omega_k)) \\
 x_a(t) \otimes x_b(t) &\leftrightarrow X_a(j\Omega) X_b(j\Omega) \\
 x_a(t) x_b(t) &\leftrightarrow \frac{1}{2\pi} X_a(j\Omega) \otimes X_b(j\Omega) \\
 \frac{d}{dt} x(t) &\leftrightarrow j\Omega X(j\Omega) \\
 tx(t) &\leftrightarrow j \frac{d}{d\Omega} X(j\Omega) \\
 e^{j\Omega_0 t} &\leftrightarrow 2\pi \delta(\Omega - \Omega_0) \\
 \cos(\Omega_0 t) &\leftrightarrow \pi[\delta(\Omega - \Omega_0) + \delta(\Omega + \Omega_0)] \\
 \sin(\Omega_0 t) &\leftrightarrow j\pi[\delta(\Omega + \Omega_0) - \delta(\Omega - \Omega_0)] \\
 x(t) = 1 &\leftrightarrow 2\pi \delta(\Omega) \\
 x(t) = \begin{cases} 1, & |t| < T_1 \\ 0, & |t| > T_1 \end{cases} &\leftrightarrow \frac{2 \sin(\Omega T_1)}{\Omega} \\
 \frac{\sin(Wt)}{\pi t} &\leftrightarrow X(j\Omega) = \begin{cases} 1, & |\Omega| < W \\ 0, & |\Omega| > W \end{cases} \\
 \delta(t) &\leftrightarrow 1 \\
 \delta(t - t_k) &\leftrightarrow e^{j\Omega_k t} \\
 e^{-at} \mu(t) &\leftrightarrow \frac{1}{a + j\Omega}, \text{ where } \text{Real}\{a\} > 0
 \end{aligned}$$

Discrete-time Fourier-transform (DTFT):

$$\begin{aligned}
 x[n] &= \frac{1}{2\pi} \int_{-\pi}^{\pi} X(e^{j\omega}) e^{j\omega n} d\omega \text{ (synthesis)} \\
 X(e^{j\omega}) &= \sum_{n=-\infty}^{\infty} x[n] e^{-j\omega n}, \text{ periodic with } 2\pi \text{ (analysis)} \\
 x[n - k] &\leftrightarrow e^{-jk\omega} X(e^{j\omega}) \\
 e^{j\omega_k n} x[n] &\leftrightarrow X(e^{j(\omega - \omega_k)}) \\
 x_1[n] \otimes x_2[n] &\leftrightarrow X_1(e^{j\omega}) \cdot X_2(e^{j\omega}) \\
 x_1[n] \cdot x_2[n] &\leftrightarrow \frac{1}{2\pi} \int_{-\pi}^{\pi} X_1(e^{j\theta}) X_2(e^{j(\omega - \theta)}) d\theta \\
 nx[n] &\leftrightarrow j \frac{d}{d\omega} X(e^{j\omega}) \\
 e^{j\omega_0 n} &\leftrightarrow 2\pi \sum_l \delta(\omega - \omega_0 - 2\pi l) \\
 \cos(\omega_0 n) &\leftrightarrow \pi \sum_l [\delta(\omega - \omega_0 - 2\pi l) + \delta(\omega + \omega_0 - 2\pi l)] \\
 \sin(\omega_0 n) &\leftrightarrow j\pi \sum_l [\delta(\omega + \omega_0 - 2\pi l) - \delta(\omega - \omega_0 - 2\pi l)] \\
 x[n] = 1 &\leftrightarrow 2\pi \sum_l \delta(\omega - 2\pi l) \\
 x[n] = \begin{cases} 1, & |n| \leq N_1 \\ 0, & |n| > N_1 \end{cases} &\leftrightarrow \frac{\sin(\omega(N_1 + 0.5))}{\sin(\omega/2)}
 \end{aligned}$$

$$\frac{\sin(Wn)}{\pi n} = \frac{W}{\pi} \text{sinc}\left(\frac{Wn}{\pi}\right) \leftrightarrow X(e^{j\omega}) = \begin{cases} 1, & 0 \leq |\omega| \leq W \\ 0, & W < |\omega| \leq \pi \end{cases}$$

$$\begin{aligned}
 \delta[n] &\leftrightarrow 1 \\
 \delta[n - k] &\leftrightarrow e^{-jk\omega} \\
 a^n \mu[n] &\leftrightarrow \frac{1}{1 - ae^{-j\omega}}, \quad |a| < 1
 \end{aligned}$$

N-point Discrete Fourier-transform (DFT):

Connection to DTFT: $X[k] = X(e^{j\omega})|_{\omega=2\pi k/N}$

$$\begin{aligned}
 W_N &= e^{-j2\pi/N} \\
 x[n] &= \frac{1}{N} \sum_{k=0}^{N-1} X[k] W_N^{-kn}, \quad 0 \leq n \leq N-1 \text{ (synthesis)} \\
 X[k] &= \sum_{n=0}^{N-1} x[n] W_N^{kn}, \quad 0 \leq k \leq N-1 \text{ (analysis)} \\
 x[n < n_0 - N] &\leftrightarrow W_N^{-kn_0} X[k] \\
 W_N^{-kn_0} x[n] &\leftrightarrow X[k < k - k_0 > N] \\
 y_C[n] &= h[n] \otimes x[n] \leftrightarrow H[k] \cdot X[k] = Y[k]
 \end{aligned}$$

Laplace transform:

Convergence with a certain ROC (region of convergence).
 Connection to continuous-time Fourier-transform: $s = j\Omega$

$$\begin{aligned}
 x(t) &= \frac{1}{2\pi j} \int_{\sigma - j\infty}^{\sigma + j\infty} X(s) e^{st} ds \text{ (synthesis)} \\
 X(s) &= \int_{-\infty}^{\infty} x(t) e^{-st} dt \text{ (analysis)}
 \end{aligned}$$

z-transform:

Convergence with a certain ROC (region of convergence).
 Connection to discrete-time Fourier-transform: $z = e^{j\omega}$

$$\begin{aligned}
 x[n] &= \frac{1}{2\pi j} \oint_C X(z) z^{n-1} dz, \quad C \text{ in ROC of } X(z) \text{ (synthesis)} \\
 X(z) &= \sum_{n=-\infty}^{\infty} x[n] z^{-n} \text{ (analysis)} \\
 x[n - k] &\leftrightarrow z^{-k} X(z) \\
 x_1[n] \otimes x_2[n] &\leftrightarrow X_1(z) \cdot X_2(z) \\
 \delta[n] &\leftrightarrow 1, \quad \text{ROC all } z \\
 \delta[n - k] &\leftrightarrow z^{-k}, \quad \text{all } z, \text{ except } 0 (k > 0) \text{ or } \infty (k < 0) \\
 \mu[n] &\leftrightarrow \frac{1}{1 - z^{-1}}, \quad |z| > 1 \\
 -\mu[-n - 1] &\leftrightarrow \frac{1}{1 - z^{-1}}, \quad |z| < 1 \\
 a^n \mu[n] &\leftrightarrow \frac{1}{1 - az^{-1}}, \quad |z| > |a| \\
 na^n \mu[n] &\leftrightarrow \frac{z^{-1}}{1 - az^{-1}}, \quad |z| > |a|
 \end{aligned}$$

$$\begin{aligned}
 (n+1)a^n \mu[n] &\leftrightarrow \frac{1}{(1 - az^{-1})^2}, \quad |z| > |a| \\
 r^n \cos(\omega_0 n) \mu[n] &\leftrightarrow \frac{1 - r \cos(\omega_0) z^{-1}}{1 - 2r \cos(\omega_0) z^{-1} + r^2 z^{-2}}, \quad |z| > |r| \\
 r^n \sin(\omega_0 n) \mu[n] &\leftrightarrow \frac{r \sin(\omega_0) z^{-1}}{1 - 2r \cos(\omega_0) z^{-1} + r^2 z^{-2}}, \quad |z| > |r|
 \end{aligned}$$

LTI filter analysis

Stability $\sum_n |h[n]| < \infty$; unit circle belongs to ROC
Causality $h[n] = 0, n < 0$; ∞ belongs to ROC
Unit step response $s[n] = \sum_{k=-\infty}^n h[k]$
Causal transfer function of order $\max\{M, N\}$:
 $H(z) = B(z)/A(z) = K \cdot \frac{\sum_{m=0}^M b_m z^{-m}}{\sum_{n=0}^N a_n z^{-n}} = G \cdot \frac{\prod_{m=1}^M (1 - d_m z^{-1})}{\prod_{n=1}^N (1 - p_n z^{-1})}$
Zeros d_m : $B(z) = 0$; *Poles* p_n : $A(z) = 0$
Frequency, magnitude/amplitude, phase response, $z \leftarrow e^{j\omega}$
 $H(e^{j\omega}) = |H(e^{j\omega})| e^{j\angle H(e^{j\omega})}$
 $H(e^{j\omega}) = H(z)|_{z=e^{j\omega}}$
 $H[k] = H(e^{j\omega})|_{\omega=2\pi k/N}$
Group delay $\tau(\omega) = -\frac{d}{d\omega} \angle H(e^{j\omega})$
Four types of linear-phase FIR filters, $h[n] = h[N - 1 - n]$ (even/odd symmetric), or $h[n] = -h[N - 1 - n]$ (e/o antis.).
 Zeros symmetric w.r.t. unit circle: $r e^{\pm j\theta}$ and $(1/r) e^{\mp j\theta}$.

Important transform pairs and properties:

$$\begin{aligned}
 a \delta[n - k] &\leftrightarrow a e^{-jk\omega} \leftrightarrow a z^{-k} \\
 a^n \mu[n] &\leftrightarrow 1/[1 - a e^{-j\omega}] \leftrightarrow 1/[1 - a z^{-1}] \\
 h[n] &= \sum_i (k_i \cdot a_i^n \mu[n]) \leftrightarrow H(e^{j\omega}) = \dots \\
 \dots \sum_i (k_i/[1 - a_i e^{-j\omega}]) &\leftrightarrow H(z) = \sum_i (k_i/[1 - a_i z^{-1}]) \\
 a x[n - k] &\leftrightarrow a e^{-jk\omega} X(e^{j\omega}) \leftrightarrow a z^{-k} X(z) \\
 y[n] &= h[n] \otimes x[n] \leftrightarrow Y(z) = H(z) \cdot X(z) \\
 \text{rectangle} &\leftrightarrow \text{sinc}, \text{ sinc} \leftrightarrow \text{rectangle}
 \end{aligned}$$

LTI filter design (synthesis)

Bilinear transform $H(z) = H(s)|_s$ and *prewarping*
 $s = k \cdot (1 - z^{-1})/(1 + z^{-1})$, $k = 1$ or $k = 2/T = 2f_T$
 $\Omega_{\text{prewarp},c} = k \cdot \tan(\omega_c/2)$, $k = 1$ or $k = 2/T = 2f_T$
Spectral transformations, $\hat{\omega}_c$ desired cut-off
 LP-LP $z^{-1} = (\hat{z}^{-1} - \alpha)/(1 - \alpha \hat{z}^{-1})$, where
 $\alpha = \sin(0.5(\omega_c - \hat{\omega}_c))/\sin(0.5(\omega_c + \hat{\omega}_c))$
 LP-HP $z^{-1} = -(\hat{z}^{-1} + \alpha)/(1 + \alpha \hat{z}^{-1})$, where
 $\alpha = -\cos(0.5(\omega_c + \hat{\omega}_c))/\cos(0.5(\omega_c - \hat{\omega}_c))$

Windowed Fourier series method

$$\begin{aligned}
 H(e^{j\omega}) &= \begin{cases} 1, & |\omega| < \omega_c \\ 0, & |\omega| \geq \omega_c \end{cases} \leftrightarrow h[n] = \frac{\sin(\omega_c n)}{\pi n} = \frac{\omega_c}{\pi} \text{sinc}\left(\frac{\omega_c n}{\pi}\right) \\
 h_{\text{FIR}}[n] &= h_{\text{ideal}}[n] \cdot w[n] \\
 H_{\text{FIR}}(e^{j\omega}) &= \frac{1}{2\pi} \int_{-\pi}^{\pi} H_{\text{ideal}}(e^{j\theta}) W(e^{j(\omega - \theta)}) d\theta \\
 \text{Fixed window functions, order } N &= 2M, -M \leq n \leq M: \\
 \text{Rectangular } w[n] &= 1 \\
 \text{Hamming } w[n] &= 0.54 + 0.46 \cos((2\pi n)/(2M)) \\
 \text{Hann } w[n] &= 0.5 \cdot (1 + \cos((2\pi n)/(2M))) \\
 \text{Blackman } w[n] &= 0.42 + 0.5 \cos\left(\frac{2\pi n}{2M}\right) + 0.08 \cos\left(\frac{4\pi n}{2M}\right) \\
 \text{Bartlett } w[n] &= 1 - (|n|/M)
 \end{aligned}$$

Implementation

Radix-2 DIT N-FFT butterfly equations, $L\{x[n]\} = N$

$$\begin{cases} \Psi_{r+1}[\alpha] = \Psi_r[\alpha] + W_{N_r}^l \Psi_r[\beta] \\ \Psi_{r+1}[\beta] = \Psi_r[\alpha] - W_{N_r}^l \Psi_r[\beta] \end{cases}$$

Inputs $x[n]$ in bit-reversed order in Ψ_1 , outputs in Ψ_R ,
 $R = \log_2 N + 1$; levels $\Psi_1, \dots, \Psi_R, r \in [1, R - 1]$; multipliers
 $W_{N_r} = e^{-j2\pi/N_r}$, $N_r = 2^r, l \in [0, 2^{r-1} - 1]$.

Multirate systems

Upsampling (interpolation) with factor L, $\uparrow L$

$$x_u[n] = \begin{cases} x[n/L], & n = 0, \pm L, \pm 2L, \dots \\ x_u[n] = 0, & \text{otherwise} \end{cases}$$

$$X_u(z) = X(z^L), \quad X_u(e^{j\omega}) = X(e^{j\omega L})$$

Downsampling (decimation) with factor M, $\downarrow M$

$$\begin{aligned}
 x_d[n] &= x[nM] \\
 X_d(z) &= (1/M) \sum_{k=0}^{M-1} X(z^{1/M} W_M^{-k}), \\
 X_d(e^{j\omega}) &= (1/M) \sum_{k=0}^{M-1} X(e^{j(\omega - 2\pi k)/M})
 \end{aligned}$$